

# Introdução à Robótica

<http://www.coep.ufrj.br/gscar>



1/73

## Dinâmica de um Manipulador

Fernando Lizarralde

PEE-COPPE/UFRJ

Rio de Janeiro, 11 de agosto de 2018



Voltar

Fechar



2/73

# Dinâmica de um Manipulador

Estuda o movimento de um sistema robótico levando em consideração as forças que produzem o movimento:

- Formulação de **Lagrange** (Análise e Projeto de Controladores)
- Formulação de **Newton-Euler** (Simulação e implementação)



Voltar

Fechar



# Energia Cinética

- Partícula:

$$K = \frac{1}{2} m \|v\|^2$$

- Corpo Rígido:

$$K = \frac{1}{2} \int_{\mathcal{M}} (\vec{v} \cdot \vec{v}) \, dm$$

onde  $\mathcal{M}$  é a região no espaço ocupado pelo corpo rígido.

Sendo  $\mu$  a densidade de massa do corpo (não necessariamente constante) tem-se que

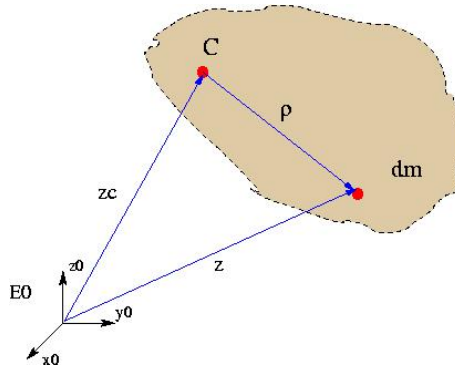
$$dm = \mu \, dV$$

- O trabalho  $W_{12}$  realizado para levar um corpo de uma posição 1 a uma outra posição 2, é igual à diferença da energia cinética em ambos pontos ( $W_{12} = K_2 - K_1$ ).



# Centro de Massa de um Corpo Rígido

Define-se o **centro de massa** de um corpo rígido como o ponto (C) tal que a sua posição  $\vec{z}_c$  satisfaça



$$\int_{\mathcal{M}} (\vec{z} - \vec{z}_c) dm = \int_{\mathcal{M}} \vec{\rho} dm = 0$$

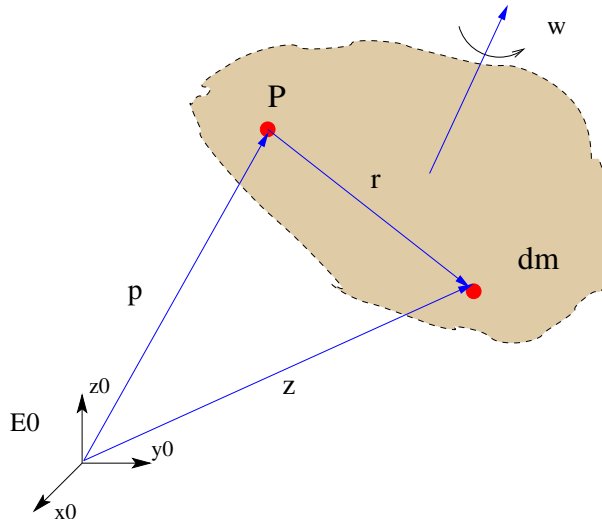
ou, considerando que  $m = \int_{\mathcal{M}} dm$ ,

$$\vec{z}_c = \frac{1}{m} \int_{\mathcal{M}} \vec{z} dm$$



# Energia Cinética de um Corpo Rígido

Considere um ponto fixo  $P$  do corpo rígido e seu vetor de posição  $\vec{p}$ .

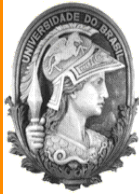


Seja

$$\vec{z} = \vec{p} + \vec{r},$$

então

$$\vec{v} = \frac{d\vec{z}}{dt^0} = \frac{d\vec{p}}{dt^0} + \frac{d\vec{r}}{dt^0} = \vec{v}_P + \vec{\omega} \times \vec{r}$$



5/73



Voltar

Fechar

A **energia cinética** é dada por ( $m = \int_{\mathcal{M}} dm$ ):

$$\begin{aligned}
 K &= \frac{1}{2} \int_{\mathcal{M}} (\vec{v} \cdot \vec{v}) \, dm \\
 &= \frac{1}{2} \int_{\mathcal{M}} ((\vec{v}_P + \vec{\omega} \times \vec{r}) \cdot (\vec{v}_P + \vec{\omega} \times \vec{r})) \, dm \\
 &= \frac{1}{2} (\vec{v}_P \cdot \vec{v}_P) \int_{\mathcal{M}} dm + \vec{v}_P \cdot \vec{\omega} \times \int_{\mathcal{M}} \vec{r} \, dm - \frac{1}{2} \int_{\mathcal{M}} (\vec{\omega} \times \vec{r}) \cdot (\vec{r} \times \vec{\omega}) \, dm
 \end{aligned}$$

Note que  $(\vec{\omega} \times \vec{r}) \cdot \vec{r} \times \vec{\omega} = -\vec{r} \cdot \vec{\omega} \times \vec{r}$ , tem-se

$$K = \frac{1}{2} m \|\vec{v}_P\|^2 + \vec{v}_P \cdot \vec{\omega} \times \int_{\mathcal{M}} \vec{r} \, dm - \frac{1}{2} \vec{\omega} \cdot \int_{\mathcal{M}} (\vec{r} \times (\vec{r} \times \vec{\omega})) \, dm$$



6/73

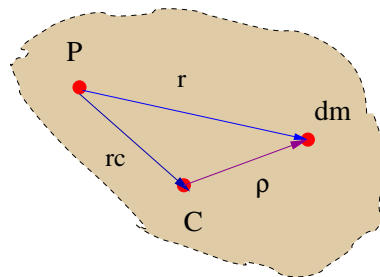


Voltar

Fechar

Para a primeira integral, considerando que  $\vec{r} = \vec{r}_c + \vec{\rho}$  tem-se

$$\int_{\mathcal{M}} \vec{r} \, dm = \int_{\mathcal{M}} (\vec{r}_c + \vec{\rho}) \, dm = m \vec{r}_c + \underbrace{\int_{\mathcal{M}} \vec{\rho} \, dm}_{=0}$$



Para a segunda integral é considerado o **Tensor de Inércia do Corpo com respeito a P**  $I^P$  dado por

$$I^P = \int_{\mathcal{M}} (\|\vec{r}\|^2 \mathcal{I} - \vec{r}\vec{r}\cdot) \, dm$$

onde foi levando em conta a igualdade  $\vec{r} \times (\vec{r} \times) = \vec{r}\vec{r}\cdot - \|\vec{r}\|^2 \mathcal{I}$ .



Com isto, a energia cinética é dada por:

$$K = \frac{1}{2}m \|\vec{v}_P\|^2 + \vec{v}_P \cdot \vec{\omega} \times (m\vec{r}_c) + \frac{1}{2}\vec{\omega} \cdot I^P \vec{\omega}$$

Em forma matricial,  $K$  pode ser exprimida como:

$$K = \frac{1}{2} \begin{bmatrix} \vec{v}_p \\ \vec{\omega} \end{bmatrix} \cdot \begin{bmatrix} m\mathcal{I} & -m\vec{r}_c \times \\ m\vec{r}_c \times & I^P \end{bmatrix} \begin{bmatrix} \vec{v}_p \\ \vec{\omega} \end{bmatrix}$$

Caso  $P$  esteja no centro de massa, i.e.  $P = C$  e  $\vec{r}_c = 0$  tem-se

$$K = \frac{1}{2} \begin{bmatrix} \vec{v}_c \\ \vec{\omega} \end{bmatrix} \cdot \begin{bmatrix} m\mathcal{I} & 0 \\ 0 & I^c \end{bmatrix} \begin{bmatrix} \vec{v}_c \\ \vec{\omega} \end{bmatrix}$$

onde  $I^c = \int_{\mathcal{M}} (\|\vec{\rho}\|^2 \mathcal{I} - \vec{\rho}\vec{\rho}) \, dm$  é o tensor de inércia com respeito a  $C$ .

**Observação:** caso  $I^P$  seja representada num sistema de coordenadas fixo ao corpo, ela será constante.







# Propriedades da Matriz de Inércia

1. Teorema de Eixo Paralelo (transformação do ponto de referência no corpo):

$$I^P = I^c - m (\vec{r}_c \vec{r}_c \cdot - \|\vec{r}_c\|^2 \mathcal{I})$$

2. Transformação entre sistemas de coordenadas:

$$(I^P)_a = R_{0a}^T (I^P)_0 R_{0a}$$

onde  $R_{0a} \in SO(3)$ .

3. Positividade:

Se o volume e a densidade do corpo não forem nulas, então

$$I^P = (I^P)^T > 0$$



Voltar

Fechar

#### 4. Eixos e Momentos Principais de Inércia:

Dado que  $I^P > 0$ , existe  $R_{0b}$  (autovetores de  $I^P$ ) tal que:

$$(I^P)_b = R_{0b}^T (I^P)_0 R_{0b}$$

onde  $(I^P)_b = \text{diag}\{I_1, I_2, I_3\}$ .

Os  $I_i > 0$  são chamados de **Momentos Principais de Inércia** e as colunas de  $R_{0b}$  são chamados de **Eixos Principais**.

#### 5. Variação de $(I^P)_0$ :

$$\frac{d(I^P)_0}{dt} = \frac{d(R_{0b}^T (I^P)_b R_{0b})}{dt} = \hat{\omega} (I^P)_0 - (I^P)_0 \hat{\omega}$$





# Exemplo de cálculo da matriz de inércia

A matriz de inércia com relação a **centro de massa** de um corpo rígido é dada por:

$$I^c = \int_{\mathcal{M}} (\|\vec{\rho}\|^2 \mathcal{I} - \vec{\rho} \vec{\rho} \cdot) dm$$

Então calculando  $I^c$  no sistema de coordenadas do centro de massa e considerando que  $(\vec{\rho})_c = [x, y, z]^T$ , tem-se que:

$$(I^c)_c = \int_{\mathcal{M}} \begin{bmatrix} y^2 + z^2 & -xy & -xz \\ -yx & x^2 + z^2 & -yz \\ -zx & -zy & x^2 + y^2 \end{bmatrix} dm$$

Considerando um corpo rígido de densidade  $\mu$  constante tem-se

$$m = \mu V$$

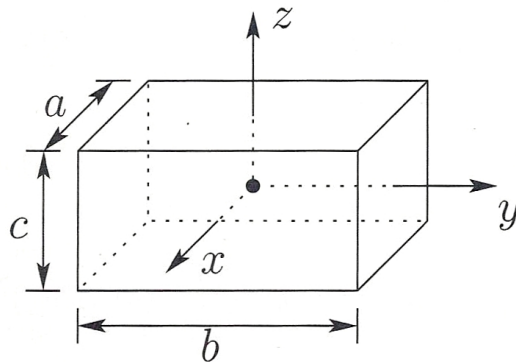
onde  $V$  é o volume do corpo.



Portanto

$$(I^c)_c = \mu \int_V \begin{bmatrix} y^2 + z^2 & -xy & -xz \\ -yx & x^2 + z^2 & -yz \\ -zx & -zy & x^2 + y^2 \end{bmatrix} dV = \begin{bmatrix} I_{xx}^c & I_{xy}^c & I_{xz}^c \\ I_{yx}^c & I_{yy}^c & I_{yz}^c \\ I_{zx}^c & I_{zy}^c & I_{zz}^c \end{bmatrix}$$

Por exemplo, considerando uma barra retangular homogênea:



de massa  $m$ , comprimento  $l = a$ , largura  $w = b$  e altura  $h = c$ , tem-se

$$\mu = \frac{m}{lwh}$$



Portanto

$$(I^c)_c = \frac{m}{lwh} \int_{-h/2}^{h/2} \int_{-w/2}^{w/2} \int_{-l/2}^{l/2} \begin{bmatrix} y^2 + z^2 & -xy & -xz \\ -yx & x^2 + z^2 & -yz \\ -zx & -zy & x^2 + y^2 \end{bmatrix} dx dy dz$$

Neste caso, dado que o corpo é simétrico  $I_{xy}^c = I_{xz}^c = I_{yz}^c = 0$ .

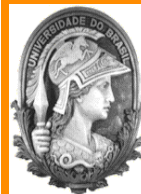
Além disto, podemos calcular  $I_{xx}^c$  como:

$$I_{xx}^c = \frac{m}{lwh} \int_{-h/2}^{h/2} \int_{-w/2}^{w/2} \int_{-l/2}^{l/2} (y^2 + z^2) dx dy dz$$

$$I_{xx}^c = \frac{m}{lwh} \frac{1}{12} (lw^3h + lwh^3) = \frac{m}{12} (w^2 + h^2)$$

Então repetindo os cálculos para  $I_{yy}^c$  e  $I_{zz}^c$  tem-se:

$$(I^c)_c = \frac{m}{12} \begin{bmatrix} w^2 + h^2 & 0 & 0 \\ 0 & l^2 + h^2 & 0 \\ 0 & 0 & l^2 + w^2 \end{bmatrix}$$



13/73



Voltar

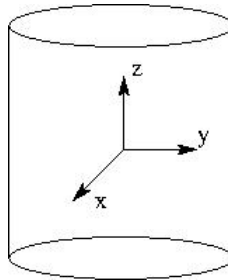
Fechar

A matriz de inércia com relação a outro ponto  $P$  pode ser calculada através da seguinte relação:

$$I^P = I^c - m (\vec{r}_c \vec{r}_c \cdot - \|\vec{r}_c\|^2 \mathcal{I})$$

onde  $\vec{r}_c$  é o vetor entre os pontos  $P$  e  $c$ .

**Exemplo 2:** Cilindro circular de altura  $h$  e raio  $r$ :



$$(I^c)_c = \frac{m}{12} \begin{bmatrix} 3r^2 + h^2 & 0 & 0 \\ 0 & 3r^2 + h^2 & 0 \\ 0 & 0 & 6r^2 \end{bmatrix}$$





# Dinâmica de um Corpo Rígido

A dinâmica de um corpo rígido pode ser derivada da **lei de Newton**.

Considerando uma **força**  $F$  e um **torque**  $\tau_c$  aplicados no **centro de massa**  $C$  de um corpo rígido, tem-se que a equação de **movimento translacional** é dada em função do momento linear por:

$$F = \frac{d}{dt}(mv_c)$$

Por outro lado, o **movimento rotacional** é dado em função do momento angular por:

$$\tau_c = \frac{d}{dt}((I^c)_0 \omega)$$

onde  $m$  é a massa do corpo rígido e  $I^c$  é a matriz de inércia do corpo com respeito a  $C$ .

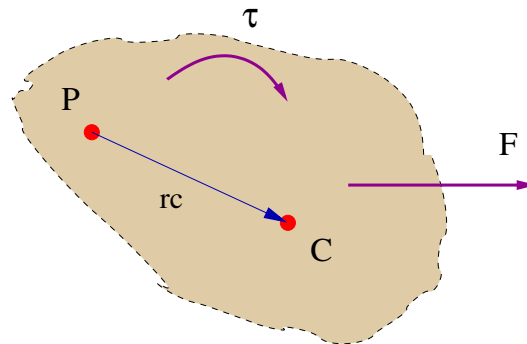
Note que  $(I^c)_c = R_{0c}^T (I^c)_0 R_{0c}$  é constante.



Em forma matricial as equações anteriores podem ser escritas como:

$$\begin{bmatrix} mI & 0 \\ 0 & I^c \end{bmatrix} \begin{bmatrix} \dot{v}_c \\ \dot{\omega} \end{bmatrix} + \begin{bmatrix} 0 \\ \omega \times I^c \omega \end{bmatrix} = \begin{bmatrix} F \\ \tau_c \end{bmatrix}$$

Considere agora que uma força  $\vec{F}$  e um torque  $\vec{\tau}_p$  são aplicados no ponto P.



Levando em consideração:

$$\begin{bmatrix} F \\ \tau_c \end{bmatrix} = \begin{bmatrix} \mathcal{I} & 0 \\ -r_c \times & \mathcal{I} \end{bmatrix} \begin{bmatrix} F \\ \tau_p \end{bmatrix}$$







$$\begin{bmatrix} v_c \\ \omega \end{bmatrix} = \begin{bmatrix} \mathcal{I} & -r_c \times \\ 0 & \mathcal{I} \end{bmatrix} \begin{bmatrix} v_p \\ \omega \end{bmatrix}$$

Diferenciado a velocidade chegasse à seguinte relação de aceleração:

$$\begin{bmatrix} \dot{v}_c \\ \dot{\omega} \end{bmatrix} = \begin{bmatrix} \mathcal{I} & -r_c \times \\ 0 & \mathcal{I} \end{bmatrix} \begin{bmatrix} \dot{v}_p \\ \dot{\omega} \end{bmatrix} + \begin{bmatrix} \omega \times (\omega \times r_c) \\ 0 \end{bmatrix}$$

Em termos de translação e rotação tem-se a [Equação de Newton-Euler](#):

$$\begin{bmatrix} m\mathcal{I} & -mr_c \times \\ mr_c \times & I^P \end{bmatrix} \begin{bmatrix} \dot{v}_p \\ \dot{\omega} \end{bmatrix} + \begin{bmatrix} m\omega \times (\omega \times r_c) \\ \omega \times I^P \omega \end{bmatrix} = \begin{bmatrix} F \\ \tau_P \end{bmatrix}$$





# Formulação de Lagrange

Esta formulação é baseada no Lagrangiano de um sistema mecânico:

$$L(\theta, \dot{\theta}) = K(\theta, \dot{\theta}) - P(\theta)$$

onde  $\theta \in \mathbb{R}^n$  define o espaço das juntas e

- $K(\theta, \dot{\theta})$ : Energia Cinética
- $P(\theta)$ : Energia Potencial (de um campo de força conservativo)

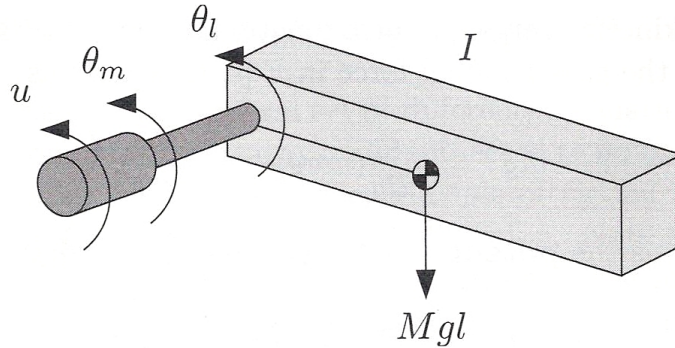
As equações de movimento do sistema satisfazem a [equação de Lagrange](#) (também chamada de equação de Euler-Lagrange ou Lagrange-Euler):

$$\frac{d}{dt} \left( \frac{\partial L}{\partial \dot{\theta}} \right) - \frac{\partial L}{\partial \theta} = \tau$$

onde  $\tau$  são os torques (forças) aplicados nas juntas (em geral  $\theta$  e  $\tau$  são as coordenadas e forças generalizadas - Murray, Li, Sastry, Cap. 6.2.1).



Exemplo: Considere um motor DC acionando uma carga



onde  $\theta_l = 0$  é a posição vertical para abaixo.

Existindo uma redução  $K_r$  entre o motor e a carga, i.e.  $\theta_m = K_r \theta_l$ .

A energia cinética e potencial do sistema é dada por:

$$K = \frac{1}{2} (I_2 \dot{\theta}_l^2 + I_m K_r^2 \dot{\theta}_l^2)$$

$$P = Mgl (1 - \cos(\theta_l))$$

Sendo o Lagrangiano definido por  $L = K - P$ . Com isto para obter a



equação de Lagrange temos que:

$$\frac{\partial L}{\partial \theta_l} = -Mgl \sin(\theta_l)$$

$$\frac{\partial L}{\partial \dot{\theta}_l} = I_2 \dot{\theta}_l + I_m K_r^2 \dot{\theta}_l$$

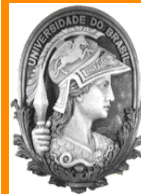
$$\frac{d}{dt} \left( \frac{\partial L}{\partial \dot{\theta}_l} \right) = (I_2 + I_m K_r^2) \ddot{\theta}_l$$

Considerando o sistema sem atrito teremos que

$$\frac{d}{dt} \left( \frac{\partial L}{\partial \dot{\theta}_l} \right) - \frac{\partial L}{\partial \theta_l} = (I_2 + I_m K_r^2) \ddot{\theta}_l + Mgl \sin(\theta_l) = \tau$$

Desta forma a **dinâmica** do sistema é dada por:

$$(I_2 + I_m K_r^2) \ddot{\theta}_l + Mgl \sin(\theta_l) = \tau$$



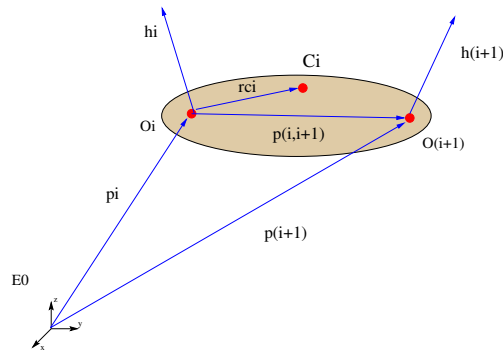


# Dinâmica de Manipuladores Robóticos

Neste caso temos que a energia cinética é dada por:

$$K = \frac{1}{2} \sum_{i=1}^n (m_i \|\vec{v}_i^c\|^2 + \vec{\omega}_i \cdot I_i^c \vec{\omega}_i)$$

- $m_i$ : massa do elo  $i$
- $I_i^c$ : inércia com respeito ao centro de massa (C) do elo  $i$
- $\vec{v}_i^c$  e  $\vec{\omega}_i$ : velocidades linear e angular do C do elo  $i$



Em forma matricial dada por:

$$K = \frac{1}{2} \sum_{i=1}^n \begin{bmatrix} \vec{v}_i^c \\ \vec{\omega}_i \end{bmatrix} \cdot \begin{bmatrix} m_i \mathcal{I} & 0 \\ 0 & I_i^c \end{bmatrix} \begin{bmatrix} \vec{v}_i^c \\ \vec{\omega}_i \end{bmatrix}$$

E exprimida em função do sistema de coordenadas  $i$ :

$$K = \frac{1}{2} \sum_{i=1}^n \begin{bmatrix} \vec{v}_i \\ \vec{\omega}_i \end{bmatrix} \cdot \underbrace{\begin{bmatrix} m_i \mathcal{I} & -m_i \vec{r}_{ci} \times \\ m_i \vec{r}_{ci} \times & I_i^i \end{bmatrix}}_{\tilde{M}_i} \begin{bmatrix} \vec{v}_i \\ \vec{\omega}_i \end{bmatrix}$$

onde

- $\vec{r}_{ci}$  é a posição do centro de massa  $C_i$  com respeito ao sistema de coordenadas  $i$ ,
- $I_i^i = I_i^c - m_i(\vec{r}_{ci} \vec{r}_{ci} \cdot - \|\vec{r}_{ci}\|^2 \mathcal{I})$  é a Inércia do elo  $i$  com respeito ao sistema de coordenadas  $i$ .



Considerando que  $\{\vec{\omega}_i, \vec{v}_i\}$  estão relacionadas com  $\dot{\theta}$  através do **Jacobi-ano parcial**  $J_i(\theta)$  (para juntas de revolução):

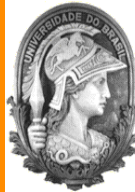
$$\begin{bmatrix} \vec{v}_i \\ \vec{\omega}_i \end{bmatrix} = \underbrace{\begin{bmatrix} \vec{h}_1 \times \vec{p}_{1i} & \cdots & \vec{h}_{i-1} \times \vec{p}_{i-1,i} & 0 & 0 & 0 \\ \vec{h}_1 & \cdots & \vec{h}_{i-1} & \vec{h}_i & 0 & 0 \end{bmatrix}}_{J_i(\theta)} \dot{\theta}$$

tem-se que  $K$  é dada por (**considerando que**  $J\dot{\theta} \cdot \bar{M}V = \dot{\theta} \cdot J^* \bar{M}V$ ):

$$K = \frac{1}{2} \sum_{i=1}^n \dot{\theta}^T J_i^*(\theta) \bar{M}_i J_i(\theta) \dot{\theta}$$

$$K = \frac{1}{2} \dot{\theta}^T \underbrace{\left[ \sum_{i=1}^n J_i^*(\theta) \bar{M}_i J_i(\theta) \right]}_{M(\theta)} \dot{\theta} = \frac{1}{2} \dot{\theta}^T M(\theta) \dot{\theta}$$

A matriz  $M(\theta) \in \mathbb{R}^{n \times n}$  é independente do sistema de coordenadas.



Por outro lado, a **energia potencial**, produto de um campo de forças conservativo (o trabalho ao longo de qualquer caminho depende somente dos extremos do caminho e não da forma) é dada por:

$$P = - \sum_{i=1}^n m_i \vec{g} \cdot \vec{p}_{0i}^c = g(\theta)$$

onde  $\vec{g}$  é o vetor de gravidade e  $\vec{p}_{0i}^c$  é a posição do **centro de massa C** do elo  $i$  com respeito a  $\vec{E}_0$ :

$$\vec{p}_{0i}^c = \vec{p}_{01} + \vec{p}_{12} + \cdots + \vec{p}_{i-1,i} + \vec{p}_i^c$$





Então o **Lagrangiano do Manipulador** é dado por:

$$L(\theta, \dot{\theta}) = \frac{1}{2} \dot{\theta}^T M(\theta) \dot{\theta} - g(\theta)$$

Para obter a **equação de Lagrange** temos que:

$$\frac{\partial L}{\partial \dot{\theta}} = M(\theta) \dot{\theta}$$

$$\frac{d}{dt} \left( \frac{\partial L}{\partial \dot{\theta}} \right) = M(\theta) \ddot{\theta} + \dot{M}(\theta, \dot{\theta}) \dot{\theta}$$

$$\frac{\partial L}{\partial \theta} = \frac{\partial}{\partial \theta} \left( \frac{1}{2} \dot{\theta}^T M(\theta) \dot{\theta} \right) - \underbrace{\nabla_{\theta} g(\theta)}_{G(\theta)}$$

Considerando  $M_i(\theta) = \partial M / \partial \theta_i$  temos que:

$$\frac{\partial}{\partial \theta} \left( \frac{1}{2} \dot{\theta}^T M(\theta) \dot{\theta} \right) = \begin{bmatrix} \frac{1}{2} \dot{\theta}^T \frac{\partial M}{\partial \theta_1} \dot{\theta} \\ \vdots \\ \frac{1}{2} \dot{\theta}^T \frac{\partial M}{\partial \theta_n} \dot{\theta} \end{bmatrix} \doteq \begin{bmatrix} \frac{1}{2} \dot{\theta}^T M_1(\theta) \dot{\theta} \\ \vdots \\ \frac{1}{2} \dot{\theta}^T M_n(\theta) \dot{\theta} \end{bmatrix}$$



Desta forma, a equação de Lagrange é dada por:

$$M(\theta)\ddot{\theta} + \underbrace{\dot{M}(\theta, \dot{\theta}) \dot{\theta} - \begin{bmatrix} \frac{1}{2}\dot{\theta}^T M_1(\theta)\dot{\theta} \\ \vdots \\ \frac{1}{2}\dot{\theta}^T M_n(\theta)\dot{\theta} \end{bmatrix}}_{C(\theta, \dot{\theta}) \dot{\theta}} + G(\theta) = \tau$$

Podendo escrever a equação dinâmica do manipulador em forma compacta como:

$$M(\theta) \ddot{\theta} + C(\theta, \dot{\theta}) \dot{\theta} + G(\theta) = \tau$$

onde

- ângulo da juntas:  $\theta \in \mathbb{R}^n$
- torque:  $\tau \in \mathbb{R}^n$
- matriz de inércia do Manipulador:  $M \in \mathbb{R}^{n \times n}$
- matriz das forças centrípetas/Coriolis:  $C \in \mathbb{R}^{n \times n}$
- vetor de gravidade:  $G \in \mathbb{R}^n$



## Observação

No modelo dinâmico anterior,  $C(\theta, \dot{\theta})$  é determinado unicamente.

No entanto, **existem varias matrizes  $C(\theta, \dot{\theta})$**  que satisfazem esta relação.

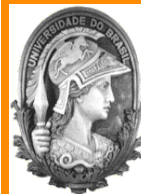
Uma forma para a matriz  $C(\theta, \dot{\theta})$  é dada por:

$$C(\theta, \dot{\theta}) = M_D(\theta, \dot{\theta}) - \frac{1}{2} M_D^T(\theta, \dot{\theta})$$

onde

$$M_D(\theta, z) = [M_1 z \cdots M_n z]; \quad z \in \mathbb{R}^n, \quad M_i = \frac{\partial M}{\partial \theta_i} \in \mathbb{R}^{n \times n}$$

Esta escolha de  $C(\theta, \dot{\theta})$  não é única (vide Símbolos de Chrisoffels no Livro do Sciavicco e Siciliano).



27/73



Voltar

Fechar

# Propriedades do Modelo Dinâmico

**Propriedade 1:**  $M(\theta) = M^T(\theta) > 0$ , i.e.  $x^T M(\theta) x > 0$  **Positiva Definida**

**Propriedade 2:** Para  $\dot{M} - 2C = N(\theta, \dot{\theta})$  tem-se

$$\dot{\theta}^T N(\theta, \dot{\theta}) \dot{\theta} = 0$$

Para uma escolha particular de  $C(\theta, \dot{\theta})$  tem-se que  $x^T N(\theta, \dot{\theta}) x = 0$  para todo  $x$ , i.e.,  $N = -N^T$ .

Esta propriedade é útil no projeto de controladores via teoria de Lyapunov, principalmente porque ela implica na passividade do sistema de  $\tau \mapsto \dot{\theta}$ .

Considere uma função de energia do tipo:

$$2V = \dot{\theta}^T M(\theta) \dot{\theta}$$

para o caso planar sem gravidade ( $G(\theta) = 0$ ) tem-se que a derivada



28/73



Voltar

Fechar

de  $V$  considerando o modelo dinâmico do manipulador é dada por:

$$\dot{V} = \dot{\theta}^T M(\theta) \ddot{\theta} + \frac{1}{2} \dot{\theta}^T \dot{M}(\theta) \dot{\theta}$$

Dado que  $M(\theta) \ddot{\theta} + C(\theta, \dot{\theta}) \dot{\theta} = \tau$  tem-se

$$\dot{V} = \dot{\theta}^T [\tau - C(\theta, \dot{\theta}) \dot{\theta}] + \frac{1}{2} \dot{\theta}^T \dot{M}(\theta) \dot{\theta} = \dot{\theta}^T \tau + \frac{1}{2} \underbrace{\dot{\theta}^T [\dot{M}(\theta) - 2C(\theta, \dot{\theta})] \dot{\theta}}_{=0}$$

Conseqüentemente,

$$\dot{V} = \dot{\theta}^T \tau \quad \text{Potência injetada no sistema}$$

Portanto o sistema é passivo no sentido que a energia dele é conservada.

Do ponto de vista de controle, a idéia é projetar um controle  $\tau$  que dissipe energia, e.g.,

$$\tau = -K_d \dot{\theta}$$



### Propriedade 3: Linearidade em parâmetros:

$$M(\theta)\ddot{\theta} + C(\theta, \dot{\theta})\dot{\theta} + G(\theta) = \tau = Y(\theta, \dot{\theta}, \ddot{\theta})P$$

onde  $P \in \mathbb{R}^m$  é um **vetor de parâmetros** e  $Y(\theta, \dot{\theta}, \ddot{\theta}) \in \mathbb{R}^{n \times m}$  é o **vetor regressor**.

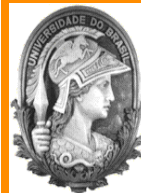
**Exemplo:** Considere um pêndulo acionado por um motor DC. O modelo foi calculado como:

$$\underbrace{J}_{M(\theta)}\ddot{\theta} + \underbrace{mgl \sin(\theta)}_{G(\theta)} = \tau$$

onde  $J$  é a inércia equivalente do pêndulo,  $m$  é a massa do pêndulo,  $l$  o comprimento e  $g$  a gravidade. Neste caso  $C(\theta, \dot{\theta}) = 0$ .

Neste caso é fácil observar que podemos escrever o modelo como:

$$\begin{bmatrix} \ddot{\theta} & \sin(\theta) \end{bmatrix} \begin{bmatrix} J \\ mgl \end{bmatrix} = \tau$$



30/73



Voltar

Fechar

Definindo o vetor regresso e o vetor de parâmetros como:

$$Y(\theta, \dot{\theta}, \ddot{\theta}) = [\ddot{\theta} \quad \sin(\theta)]; \quad P = \begin{bmatrix} J \\ mgl \end{bmatrix}$$

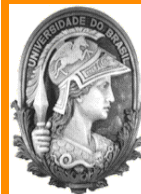
**Exemplo:** Identificação de parâmetros.

Considere que são realizada  $m$  medidas da resposta do sistema, tendo então:

$$\underbrace{\begin{bmatrix} \tau_1 \\ \vdots \\ \tau_m \end{bmatrix}}_T = \underbrace{\begin{bmatrix} Y_1 \\ \vdots \\ Y_m \end{bmatrix}}_{\mathcal{Y}} P \implies T = \mathcal{Y}P$$

Portanto um forma de obter uma estimativa de  $P$  é através de mínimos quadrados:

$$P = (\mathcal{Y}^T \mathcal{Y})^{-1} \mathcal{Y}^T T$$





# Modelo Dinâmico mais Completo

No modelo dinâmico do manipulador podem ser considerados os efeitos do atrito  $F$  e das forças externas  $f_{ext}$  aplicadas no efetuador.

$$M(\theta) \ddot{\theta} + C(\theta, \dot{\theta}) \dot{\theta} + F(\theta) \dot{\theta} + G(\theta) = \tau - J^T(\theta) f_{ext}$$

Eventualmente podem ser adicionados efeitos hidrodinâmico no caso de sistemas robóticos submarinos (drag:  $D\dot{\theta} \left| \dot{\theta} \right|$ ) ou dinâmica dos atuadores:

$$\dot{\tau} = A\tau + Bu$$

No caso de motores com reduções, tem-se que a Inércia do elo  $i$  com respeito ao sistema de coordenadas  $i$  é dada por:

$$I_i^i = I_i^c - m_i(\vec{r}_{ci}\vec{r}_{ci} \cdot - \|\vec{r}_{ci}\|^2 \mathcal{I}) + I_{mi}N_i^2\vec{h}_i\vec{h}_i.$$

onde  $N_i$  é a relação de transmissão,  $\vec{h}_i$  é o eixo de rotação da junta  $i$  e  $I_{mi}$  é a inércia do motor  $i$ .







# Dinâmica inversa e direta

**Dinâmica Inversa:** Dado  $\theta, \dot{\theta}$  e  $\ddot{\theta} \longrightarrow \tau$

Utilizada para controle (linearização por realimentação):

$$\tau = M(\theta)v + C(\theta, \dot{\theta}) \dot{\theta} + g(\theta)$$

**Dinâmica Direta:** Dado  $\tau, \theta$  e  $\dot{\theta} \longrightarrow \ddot{\theta}$

Utilizada para simulação do sistema:

$$\ddot{\theta} = -M^{-1}(\theta)[C(\theta, \dot{\theta}) \dot{\theta} + G(\theta) - \tau]$$



Voltar

Fechar

# Resumo: Equações Dinâmica de um manipulador



34/73

$$M(\theta) = \sum_{i=1}^n J_i^*(\theta) \bar{M}_i J_i(\theta)$$

onde

$$\bar{M}_i = \begin{bmatrix} m_i \mathcal{I} & -m_i \vec{r}_{ci} \times \\ m_i \vec{r}_{ci} \times & I_i^c - m_i (\vec{r}_{ci} \vec{r}_{ci} \cdot - \|\vec{r}_{ci}\|^2 \mathcal{I}) \end{bmatrix}$$
$$J_i(\theta) = \begin{bmatrix} \vec{h}_1 \times \vec{p}_{1i} & \cdots & \vec{h}_{i-1} \times \vec{p}_{i-1,i} & 0 & 0 & 0 \\ \vec{h}_1 & \cdots & \vec{h}_{i-1} & \vec{h}_i & 0 & 0 \end{bmatrix}$$

A matriz de Coriolis/centrípeta

$$C(\theta, \dot{\theta}) = M_D(\theta, \dot{\theta}) - \frac{1}{2} M_D^T(\theta, \dot{\theta})$$

onde

$$M_D(\theta, \dot{\theta}) = [M_1 \dot{\theta} \cdots M_n \dot{\theta}] \quad M_i = \frac{\partial M}{\partial \theta_i}$$

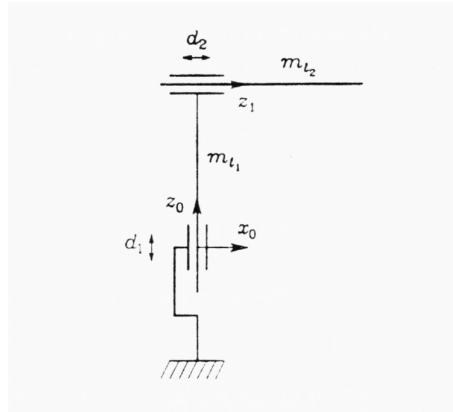
A gravidade é dada por  $G(\theta) = \nabla_{\theta} g(\theta)$  onde  $g(\theta) = - \sum_{i=1}^n m_i \vec{g} \cdot \vec{p}_{0i}^c$



Voltar

Fechar

**Exemplo:** Calcular o modelo dinâmico do manipulador cartesiano planar:



Neste caso  $m_{l1}, m_{l2}$  são as massas dos elos 1 e 2. As coordenadas generalizadas são:  $\theta = [d_1 \ d_2]^T$ .

Tem-se

$$\vec{p}_{01} = \vec{r}_{c1} = d_1 \vec{z}_0 \quad \vec{p}_{12} = \vec{r}_{c2} = d_2 \vec{z}_1$$

Os jacobianos parciais são dados por:

$$J_1 = \begin{bmatrix} \vec{z}_0 & 0 \\ 0 & 0 \end{bmatrix} \quad J_2 = \begin{bmatrix} \vec{z}_0 & \vec{z}_1 \\ 0 & 0 \end{bmatrix}$$



Então como  $M(\theta) = J_1^* \bar{M}_1 J_1 + J_2^* \bar{M}_2 J_2$  calculando cada termo:

$$J_1^* \bar{M}_1 J_1 = \begin{bmatrix} \vec{z}_0 \cdot & 0 \\ 0 & 0 \end{bmatrix} \begin{bmatrix} m_1 \mathcal{I} & -m_1 \vec{r}_{c1} \times \\ m_1 \vec{r}_{c1} \times & I_1^1 \end{bmatrix} \begin{bmatrix} \vec{z}_0 & 0 \\ 0 & 0 \end{bmatrix} = \begin{bmatrix} m_1 & 0 \\ 0 & 0 \end{bmatrix}$$

Da mesma forma podemos calcular  $J_2^* \bar{M}_2 J_2$ :

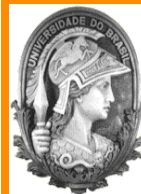
$$J_2^* \bar{M}_2 J_2 = \begin{bmatrix} \vec{z}_0 \cdot & 0 \\ \vec{z}_1 \cdot & 0 \end{bmatrix} \begin{bmatrix} m_2 \mathcal{I} & -m_2 \vec{r}_{c2} \times \\ m_2 \vec{r}_{c2} \times & I_2^2 \end{bmatrix} \begin{bmatrix} \vec{z}_0 & \vec{z}_1 \\ 0 & 0 \end{bmatrix}$$

$$J_2^* \bar{M}_2 J_2 = \begin{bmatrix} \vec{z}_0 \cdot & 0 \\ \vec{z}_1 \cdot & 0 \end{bmatrix} \begin{bmatrix} m_2 \vec{z}_0 & m_2 \vec{z}_1 \\ m_2 \vec{r}_{c2} \times \vec{z}_0 & m_2 \vec{r}_{c2} \times \vec{z}_1 \end{bmatrix}$$

$$J_2^* \bar{M}_2 J_2 = \begin{bmatrix} m_2 & m_2 \vec{z}_0 \cdot \vec{z}_1 \\ m_2 \vec{z}_0 \cdot \vec{z}_1 & m_2 \end{bmatrix}$$

Considerando que  $\vec{z}_0 \cdot \vec{z}_1 = 0$ , somando  $J_1^* \bar{M}_1 J_1$  com  $J_2^* \bar{M}_2 J_2$  tem-se:

$$M(\theta) = \begin{bmatrix} m_1 + m_2 & 0 \\ 0 & m_2 \end{bmatrix}$$



36/73



Voltar

Fechar

Desta forma  $M_D(\theta, \dot{\theta}) = [M_1 \dot{\theta}, M_2 \dot{\theta}]$  é dada por:

$$M_D(\theta, \dot{\theta}) = \begin{bmatrix} 0 & 0 \\ 0 & 0 \end{bmatrix}$$

Calculando  $C(\theta, \dot{\theta})\dot{\theta} = [M_D(\theta, \dot{\theta}) - \frac{1}{2}M_D^T(\theta, \dot{\theta})]\dot{\theta}$  tem-se:

$$C(\theta, \dot{\theta}) = \begin{bmatrix} 0 & 0 \\ 0 & 0 \end{bmatrix}$$

Por outro lado,  $G(\theta)$  é calculado a partir de  $g(\theta) = -\sum_{i=1}^n m_i \vec{g} \cdot \vec{p}_{0i}^c$

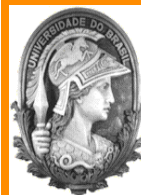
$$g(\theta) = -m_1 \vec{g} \cdot \vec{p}_{01}^c - m_2 \vec{g} \cdot \vec{p}_{02}^c = -m_1 \vec{g} \cdot \vec{r}_{c1} - m_2 \vec{g} \cdot (\vec{p}_{01} + \vec{r}_{c2})$$

considerando que  $\vec{g} = -g\vec{z}_0$ ,  $\vec{r}_{c1} = \vec{p}_{01} = d_1\vec{z}_0$ ,  $\vec{r}_{c2} = d_2\vec{z}_1$ , tem-se

$$g(\theta) = m_1 g d_1 (\vec{z}_0 \cdot \vec{z}_0) + m_2 g d_1 (\vec{z}_0 \cdot \vec{z}_0) - m_2 g d_2 (\vec{z}_0 \cdot \vec{z}_1)$$

$$g(\theta) = (m_1 + m_2) g d_1$$

O vetor das forças gravitacionais é dada por:  $G = [(m_1 + m_2) g, 0]^T$ .



37/73

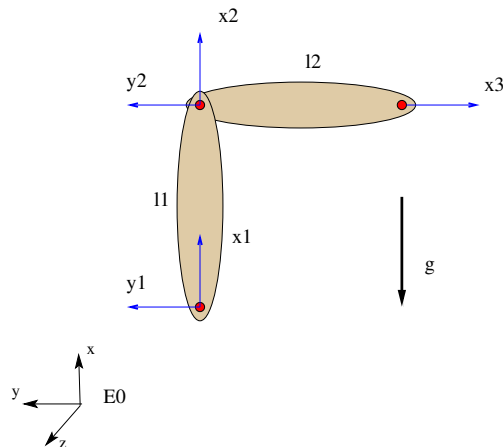


Voltar

Fechar

## Exemplo: Dinâmica de um manipulador planar 2R

Agora considere o manipulador 2R da figura:



então tem-se

$$\vec{p}_{12} = l_1 \vec{x}_1 \quad \vec{p}_{23} = -l_2 \vec{y}_2$$

e a distância ao centros de massas de cada elo:

$$\vec{r}_{c1} = r_1 \vec{x}_1 \quad \vec{r}_{c2} = -r_2 \vec{y}_2$$

Os jacobianos parciais são dados por:



38/73





$$J_1 = \begin{bmatrix} 0 & 0 \\ \vec{z}_1 & 0 \end{bmatrix} \quad J_2 = \begin{bmatrix} \vec{z}_1 \times \vec{p}_{12} & 0 \\ \vec{z}_1 & \vec{z}_2 \end{bmatrix}$$

Então como  $M(\theta) = J_1^* \bar{M}_1 J_1 + J_2^* \bar{M}_2 J_2$  calculando cada termo:

$$J_1^* \bar{M}_1 J_1 = \begin{bmatrix} 0 & \vec{z}_1 \cdot \\ 0 & 0 \end{bmatrix} \begin{bmatrix} m_1 \mathcal{I} & -m_1 \vec{r}_{c1} \times \\ m_1 \vec{r}_{c1} \times & I_1^1 \end{bmatrix} \begin{bmatrix} 0 & 0 \\ \vec{z}_1 & 0 \end{bmatrix} = \begin{bmatrix} \vec{z}_1 \cdot I_1^1 \vec{z}_1 & 0 \\ 0 & 0 \end{bmatrix}$$

Levando em consideração que  $\vec{r}_{c1} \cdot \vec{z}_1 = 0$  e  $\vec{z}_1 \cdot \vec{z}_1 = 1$  tem-se:

$$\vec{z}_1 \cdot I_1^1 \vec{z}_1 = \vec{z}_1 \cdot [I_1^c - m_1 (\vec{r}_{c1} \vec{r}_{c1} \cdot - \|\vec{r}_{c1}\|^2 \mathcal{I})] \vec{z}_1 = \underbrace{\vec{z}_1 \cdot I_1^c \vec{z}_1}_{I_{1zz}^c} + m_1 \|\vec{r}_{c1}\|^2$$



Da mesma forma podemos calcular  $J_2^* \bar{M}_2 J_2$ :

$$J_2^* \bar{M}_2 J_2 = \begin{bmatrix} \vec{z}_1 \times \vec{p}_{12} \cdot \vec{z}_1 & \vec{z}_1 \cdot \\ 0 & \vec{z}_2 \cdot \end{bmatrix} \begin{bmatrix} m_2 \mathcal{I} & -m_2 \vec{r}_{c2} \times \\ m_2 \vec{r}_{c2} \times & I_2^2 \end{bmatrix} \begin{bmatrix} \vec{z}_1 \times \vec{p}_{12} & 0 \\ \vec{z}_1 & \vec{z}_2 \end{bmatrix}$$

$$J_2^* \bar{M}_2 J_2 = \begin{bmatrix} \vec{z}_1 \times \vec{p}_{12} \cdot \vec{z}_1 & \vec{z}_1 \cdot \\ 0 & \vec{z}_2 \cdot \end{bmatrix} \begin{bmatrix} m_2(\vec{z}_1 \times \vec{p}_{12}) - m_2 \vec{r}_{c2} \times \vec{z}_1 & -m_2 \vec{r}_{c2} \times \vec{z}_2 \\ m_2 \vec{r}_{c2} \times (\vec{z}_1 \times \vec{p}_{12}) + I_2^2 \vec{z}_1 & I_2^2 \vec{z}_2 \end{bmatrix}$$

$$J_2^* \bar{M}_2 J_2 = \begin{bmatrix} \textcolor{blue}{A} & \cdot \\ \vec{z}_2 \cdot (m_2 \vec{r}_{c2} \times (\vec{z}_1 \times \vec{p}_{12}) + I_2^2 \vec{z}_1) & \vec{z}_2 \cdot I_2^2 \vec{z}_2 \end{bmatrix}$$

onde

$$\textcolor{blue}{A} = m_2(\vec{z}_1 \times \vec{p}_{12}) \cdot [(\vec{z}_1 \times \vec{p}_{12}) - (\vec{r}_{c2} \times \vec{z}_1)] + \vec{z}_1 \cdot [m_2 \vec{r}_{c2} \times (\vec{z}_1 \times \vec{p}_{12}) + I_2^2 \vec{z}_1]$$

Considerando que  $\vec{r}_{c2} \cdot \vec{z}_2 = 0$ ,  $\vec{p}_{12} \cdot \vec{z}_1 = 0$ ,  $\vec{z}_1 \cdot \vec{z}_1 = 1$  e  $\vec{z}_1 \cdot \vec{z}_2 = 1$ , e

$$\vec{z}_2 \cdot I_2^2 \vec{z}_2 = \underbrace{\vec{z}_2 \cdot I_2^c \vec{z}_2}_{I_{2zz}^c} + m_2 \|\vec{r}_{c2}\|^2 = \vec{z}_1 \cdot I_2^2 \vec{z}_1 = \vec{z}_1 \cdot I_2^2 \vec{z}_2$$

Além disto tem-se que:  $\vec{z}_1 \times \vec{p}_{12} = l_1 \vec{y}_1$ ,  $\vec{r}_{c2} \times \vec{y}_1 = r_2 \sin(\theta_2) \vec{z}_1$ ,  $\vec{r}_{c2} \times \vec{z}_1 = -r_2 \vec{x}_2$ ,  $\vec{y}_1 \cdot \vec{x}_2 = \sin(\theta_2)$ .





Somando  $J_1^* \bar{M}_1 J_1$  com  $J_2^* \bar{M}_2 J_2$  tem-se:

$$M(\theta) = \begin{bmatrix} I_{1zz}^c + m_1 r_1^2 + I_{2z}^c + m_2 r_2^2 + 2m_2 r_2 l_1 s\theta_2 + m_2 l_1^2 & \\ I_{2zz}^c + m_2 r_2^2 + m_2 r_2 l_1 s\theta_2 & I_{2zz}^c + m_2 r_2^2 \end{bmatrix}.$$

Desta forma  $M_D(\theta, \dot{\theta}) = [M_1 \dot{\theta}, M_2 \dot{\theta}]$  é dada por:

$$M_D(\theta, \dot{\theta}) = \begin{bmatrix} 0 & m_2 r_2 l_1 c\theta_2 (2\dot{\theta}_1 + \dot{\theta}_2) \\ 0 & m_2 r_2 l_1 c\theta_2 \dot{\theta}_1 \end{bmatrix}$$

Calculando  $C(\theta, \dot{\theta})\dot{\theta} = [M_D(\theta, \dot{\theta}) - \frac{1}{2}M_D^T(\theta, \dot{\theta})]\dot{\theta}$  tem-se:

$$C(\theta, \dot{\theta}) = \begin{bmatrix} 0 & m_2 r_2 l_1 c\theta_2 (2\dot{\theta}_1 + \dot{\theta}_2) \\ -\frac{1}{2}m_2 r_2 l_1 c\theta_2 (2\dot{\theta}_1 + \dot{\theta}_2) & \frac{1}{2}m_2 r_2 l_1 c\theta_2 \dot{\theta}_1 \end{bmatrix}$$



Por outro lado,  $G(\theta)$  é calculado a partir de  $g(\theta) = -\sum_{i=1}^n m_i \vec{g} \cdot \vec{p}_{0i}^c$

$$g(\theta) = -m_1 \vec{g} \cdot \vec{p}_{01}^c - m_2 \vec{g} \cdot \vec{p}_{02}^c = -m_1 \vec{g} \cdot \vec{r}_{c1} - m_2 \vec{g} \cdot (\vec{p}_{12} + \vec{r}_{c2})$$

considerando que  $\vec{g} = -g\vec{x}_0$ ,  $\vec{r}_{c1} = r_1\vec{x}_1$ ,  $\vec{p}_{12} = l_1\vec{x}_1$ ,  $\vec{r}_{c2} = -r_1\vec{y}_2$ , tem-se

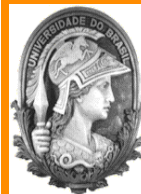
$$g(\theta) = m_1 r_1 g (\vec{x}_0 \cdot \vec{x}_1) + m_2 l_1 g (\vec{x}_0 \cdot \vec{x}_1) - m_2 r_2 g (\vec{x}_0 \cdot \vec{y}_2)$$

então considerando  $\vec{x}_0 \cdot \vec{x}_1 = \cos(\theta_1)$  e  $\vec{x}_0 \cdot \vec{y}_2 = -\sin(\theta_1 + \theta_2)$ :

$$g(\theta) = m_1 r_1 g \cos(\theta_1) + m_2 l_1 g \cos(\theta_1) + m_2 r_2 g \sin(\theta_1 + \theta_2)$$

Podendo calcular  $G(\theta) = \nabla_{\theta} g(\theta)$  como

$$G(\theta) = \begin{bmatrix} -m_1 r_1 g \sin(\theta_1) - m_2 l_1 g \sin(\theta_1) + m_2 r_2 g \cos(\theta_1 + \theta_2) \\ m_2 r_2 g \cos(\theta_1 + \theta_2) \end{bmatrix}$$



42/73



Voltar

Fechar

**Exemplo:** Linearidade em certos parâmetros:

Definindo os seguintes parâmetros:

$$\pi_1 = I_{1zz}^c + m_1 r_1^2 + I_{2z}^c + m_2 r_2^2 + m_2 l_1^2$$

$$\pi_2 = m_2 r_2 l_1$$

$$\pi_3 = I_{2zz}^c + m_2 r_2^2$$

$$\pi_4 = m_2 r_1 g + m_2 l_1 g$$

$$\pi_5 = m_2 r_2 g$$

pode-se escrever:

$$M(\theta) = \begin{bmatrix} \pi_1 + 2\pi_2 \sin(\theta_2) & \pi_3 + \pi_2 \sin(\theta_2) \\ \pi_3 + \pi_2 \sin(\theta_2) & \pi_3 \end{bmatrix}$$

$$C(\theta, \dot{\theta}) = \begin{bmatrix} 0 & \pi_2 \cos(\theta_2) (2\dot{\theta}_1 + \dot{\theta}_2) \\ -\frac{1}{2}\pi_2 \cos(\theta_2) (2\dot{\theta}_1 + \dot{\theta}_2) & \frac{1}{2}\pi_2 \cos(\theta_2) \dot{\theta}_1 \end{bmatrix}$$

$$G(\theta) = \begin{bmatrix} -\pi_4 \sin(\theta_1) + \pi_5 \cos(\theta_1 + \theta_2) \\ \pi_5 \cos(\theta_1 + \theta_2) \end{bmatrix}$$



43/73



Voltar

Fechar

Com isto podemos definir a matriz regressora  $Y$  e o vetor de parâmetros  $\Pi$ :

$$\Pi^T = [\pi_1, \pi_2, \pi_3, \pi_4, \pi_5]$$

e

$$Y^T(\theta, \dot{\theta}, \ddot{\theta}) = \begin{bmatrix} \ddot{\theta}_1 & 0 \\ s\theta_2 (2\ddot{\theta}_1 + \ddot{\theta}_2) + c\theta_2 (2\dot{\theta}_1\dot{\theta}_2 + \dot{\theta}_2^2) & s\theta_2 \ddot{\theta}_1 - c\theta_2 \dot{\theta}_1^2 \\ \ddot{\theta}_2 & \ddot{\theta}_1 + \ddot{\theta}_2 \\ g \cos(\theta_1) & 0 \\ g \cos(\theta_1 + \theta_2) & g \cos(\theta_1 + \theta_2) \end{bmatrix}$$

tendo

$$Y(\theta, \dot{\theta}, \ddot{\theta}) \Pi = \tau$$



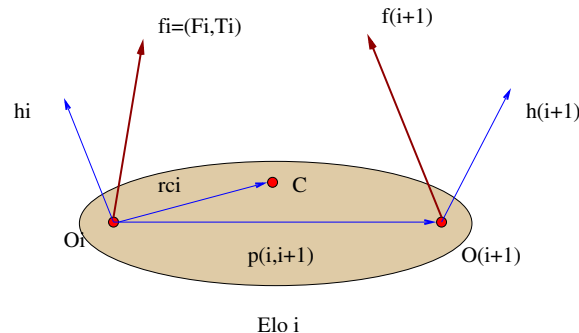


# Formulação de Newton-Euler

Na formulação de Newton-Euler, em lugar de considerar o sistema completo como no caso do enfoque Lagrangiano, é considerado o balanço de força e torques em cada elo.

Este enfoque leva a uma **solução do tipo recursiva**, propagando velocidades, acelerações e forças de elo em elo.

Para isto considere o  **$i$ -ésimo elo**:



$\{\vec{F}_i \ T_i\}$ : força e torque aplicadas pelo elo  $i - 1$  no elo  $i$  no frame  $i$ .



Considerando um convenção de Denavit-Hartenberg Modificada, a propagação de velocidades e acelerações é dada por (juntas de revolução):

$$\begin{aligned}\vec{\omega}_i &= \vec{\omega}_{i-1} + \dot{\theta}_i \vec{h}_i \\ \vec{v}_i &= \vec{v}_{i-1} + \vec{\omega}_{i-1} \times \vec{p}_{i-1,i}\end{aligned}$$

Colocando em forma matricial tem-se:

$$\underbrace{\begin{bmatrix} \vec{v}_i \\ \vec{\omega}_i \end{bmatrix}}_{V_i} = \underbrace{\begin{bmatrix} \mathcal{I} & -\vec{p}_{i-1,i} \times \\ 0 & \mathcal{I} \end{bmatrix}}_{\Phi_{i,i-1}} \underbrace{\begin{bmatrix} \vec{v}_{i-1} \\ \vec{\omega}_{i-1} \end{bmatrix}}_{V_{i-1}} + \underbrace{\begin{bmatrix} 0 \\ \vec{h}_i \end{bmatrix}}_{H_i} \dot{\theta}_i$$

tendo que a propagação da velocidade pode ser escrita:

$$V_i = \Phi_{i,i-1} V_{i-1} + H_i \dot{\theta}_i$$

Por outro lado, a aceleração é dada por

$$\begin{aligned}\frac{d\vec{\omega}_i}{dt^0} &= \frac{d\vec{\omega}_{i-1}}{dt^0} + \ddot{\theta}_i \vec{h}_i + \vec{\omega}_{i-1} \times \dot{\theta}_i \vec{h}_i \\ \frac{d\vec{v}_i}{dt^0} &= \frac{d\vec{v}_{i-1}}{dt^0} + \vec{\omega}_{i-1} \times (\vec{\omega}_{i-1} \times \vec{p}_{i-1,i}) + \frac{d\vec{\omega}_{i-1}}{dt^0} \times \vec{p}_{i-1,i}\end{aligned}$$



Em forma matricial tem-se

$$\underbrace{\begin{bmatrix} \frac{d\vec{v}_i}{dt^0} \\ \frac{d\vec{\omega}_i}{dt^0} \end{bmatrix}}_{\alpha_i} = \underbrace{\begin{bmatrix} \mathcal{I} & -\vec{p}_{i-1,i} \times \\ 0 & \mathcal{I} \end{bmatrix}}_{\Phi_{i,i-1}} \underbrace{\begin{bmatrix} \frac{d\vec{v}_{i-1}}{dt^0} \\ \frac{d\vec{\omega}_{i-1}}{dt^0} \end{bmatrix}}_{\alpha_{i-1}} + \underbrace{\begin{bmatrix} 0 \\ \vec{h}_i \end{bmatrix}}_{H_i} \ddot{\theta}_i + \underbrace{\begin{bmatrix} \vec{\omega}_{i-1} \times (\vec{\omega}_{i-1} \times \vec{p}_{i-1,i}) \\ \vec{\omega}_{i-1} \times \vec{\omega}_i \end{bmatrix}}_{a_i}$$



47/73

Desta forma a propagação de aceleração é dado por:

$$\alpha_i = \Phi_{i,i-1} \alpha_{i-1} + H_i \ddot{\theta}_i + a_i$$

Desta forma as **equações cinemáticas** do algoritmo são dadas por:

$$\begin{aligned} V_{i+1} &= \Phi_{i+1,i} V_i + H_{i+1} \dot{\theta}_{i+1} \\ \alpha_{i+1} &= \Phi_{i+1,i} \alpha_i + H_{i+1} \ddot{\theta}_{i+1} + a_{i+1} \end{aligned}$$

Então dados  $\underline{V_0}$  e  $\underline{\alpha_0}$  obtemos  $\underline{V_i}$  e  $\underline{\alpha_i}$  para  $i = 1, \dots, n$ .

Se o manipulador é montado numa **base fixa**, tem-se que  $V_0 = \alpha_0 = 0$ .

No caso de uma **base móvel**, deverá ser considerada a velocidade e aceleração da mesma.



No caso de **juntas prismáticas** dado que:

$$\vec{\omega}_i = \vec{\omega}_{i-1}$$

$$\vec{v}_i = \vec{v}_{i-1} + \vec{\omega}_{i-1} \times \vec{p}_{i-1,i} + \dot{\theta}_i \vec{h}_i$$

Tem-se que a forma matricial:

$$V_i = \Phi_{i,i-1} V_{i-1} + H_i \dot{\theta}_i$$

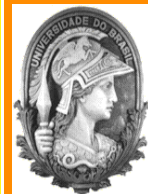
$$\alpha_i = \Phi_{i,i-1} \alpha_{i-1} + H_i \ddot{\theta}_i + a_i$$

onde

$$H_i = \begin{bmatrix} \vec{h}_i \\ 0 \end{bmatrix}$$

e

$$a_i = \begin{bmatrix} \vec{\omega}_{i-1} \times (\vec{\omega}_{i-1} \times \vec{p}_{i-1,i}) \\ 0 \end{bmatrix}$$



48/73



Voltar

Fechar

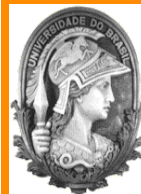


As **equações dinâmicas** do algoritmo no centro de massa do elo  $i$  são dadas por:

$$\begin{bmatrix} m_i \mathcal{I} & 0 \\ 0 & I_i^c \end{bmatrix} \begin{bmatrix} \frac{d\vec{v}_i^c}{dt^0} \\ \frac{d\vec{\omega}_i}{dt^0} \end{bmatrix} + \begin{bmatrix} 0 \\ \vec{\omega}_i \times I_i^c \vec{\omega}_i \end{bmatrix} = \\ = \begin{bmatrix} \mathcal{I} & 0 \\ -\vec{r}_{ci} \times & \mathcal{I} \end{bmatrix} \begin{bmatrix} \vec{F}_i \\ \vec{T}_i \end{bmatrix} - \begin{bmatrix} \mathcal{I} & 0 \\ (\vec{p}_{i,i+1} - \vec{r}_{ci}) \times & \mathcal{I} \end{bmatrix} \begin{bmatrix} \vec{F}_{i+1} \\ \vec{T}_{i+1} \end{bmatrix}$$

onde

- $m_i$  é a massa do elo  $i$ ;
- $\vec{r}_{ci}$  é o vetor entre o sistema de coordenadas  $i$  e o centro de massa do elo  $i$ ;
- $I_i^c$  é a inércia do elo  $i$  com respeito ao seu centro de massa.



As equações dinâmicas podem ser levadas para o sistema de coordenadas  $i$  considerando:

$$I_i^i = I_i^c - m_i(\vec{r}_{ci}\vec{r}_{ci} \cdot - \|\vec{r}_{ci}\|^2 \mathcal{I})$$

onde  $I_i^i$  é a inércia do elo  $i$  com respeito ao sistema de coordenadas  $i$ ; e a seguinte relação de acelerações:

$$\begin{bmatrix} \frac{d\vec{v}_i^c}{dt^0} \\ \frac{d\vec{\omega}_i}{dt^0} \end{bmatrix} = \begin{bmatrix} \mathcal{I} & -\vec{r}_{ci} \times \\ 0 & \mathcal{I} \end{bmatrix} \begin{bmatrix} \frac{d\vec{v}_i}{dt^0} \\ \frac{d\vec{\omega}_i}{dt^0} \end{bmatrix} + \begin{bmatrix} \vec{\omega}_i \times (\vec{\omega}_i \times \vec{r}_{ci}) \\ 0 \end{bmatrix}$$



Desta forma, as equações dinâmicas no sistema de coordenadas  $i$  são dadas por:

$$\underbrace{\begin{bmatrix} m_i \mathcal{I} & -m_i \vec{r}_{ci} \times \\ m_i \vec{r}_{ci} \times & I_i^i \end{bmatrix}}_{M_i} \underbrace{\begin{bmatrix} \frac{d\vec{v}_i}{dt^0} \\ \frac{d\vec{\omega}_i}{dt^0} \end{bmatrix}}_{\alpha_i} + \underbrace{\begin{bmatrix} m_i \vec{\omega}_i \times (\vec{\omega}_i \times \vec{r}_{ci}) \\ \vec{\omega}_i \times I_i^i \vec{\omega}_i \end{bmatrix}}_{b_i} =$$

$$= \underbrace{\begin{bmatrix} \vec{F}_i \\ \vec{T}_i \end{bmatrix}}_{f_i} - \underbrace{\begin{bmatrix} \mathcal{I} & 0 \\ \vec{p}_{i,i+1} \times & \mathcal{I} \end{bmatrix}}_{\Phi_{i+1,i}^*} \underbrace{\begin{bmatrix} \vec{F}_{i+1} \\ \vec{T}_{i+1} \end{bmatrix}}_{f_{i+1}}$$

O torque ou força nas juntas é dado por

$$\tau_i = \begin{cases} \vec{h}_i \cdot \vec{T}_i & \text{para juntas de revolução} \\ \vec{h}_i \cdot \vec{F}_i & \text{para juntas prismáticas} \end{cases} = H_i^* f_i$$

Em forma compacta:

$$f_i = \Phi_{i+1,i}^* f_{i+1} + M_i \alpha_i + b_i$$

$$\tau_i = H_i^* f_i$$



Então dado  $f_{n+1} = f_{ext}$  sendo a força/torque aplicado no efetuador, pode-se calcular  $f_i, \tau_i$  para  $i = n, \dots, 1$ .

## Sistema completo

$$V_{i+1} = \Phi_{i+1,i} V_i + H_{i+1} \dot{\theta}_{i+1}$$

$$\alpha_{i+1} = \Phi_{i+1,i} \alpha_i + H_{i+1} \ddot{\theta}_{i+1} + a_{i+1}$$

$$f_i = \Phi_{i+1,i}^* f_{i+1} + M_i \alpha_i + b_i$$

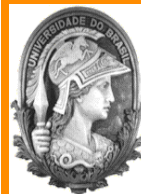
$$\tau_i = H_i^* f_i$$

$$V_0 = \alpha_0 = 0;$$

$$f_{n+1} = f_{ext}$$

O efeito da força da gravidade (uniforme) no manipulador pode ser considerada aplicando uma pseudo-aceleração no sistema de coordenadas da base, i.e.,

$$\alpha_0 = \begin{bmatrix} \vec{g} \\ 0 \end{bmatrix}$$



# Algoritmo em sistemas de coordenadas

O sistema é dado por

$$\begin{aligned}(V_{i+1})_{i+1} &= \Phi_{i+1,i} (V_i)_i + H_{i+1} \dot{\theta}_{i+1} \\ (\alpha_{i+1})_{i+1} &= \Phi_{i+1,i} (\alpha_i)_i + H_{i+1} \ddot{\theta}_{i+1} + a_{i+1} \\ (f_i)_i &= \Phi_{i+1,i}^T (f_{i+1})_{i+1} + M_i \alpha_i + b_i \\ \tau_i &= H_i^T (f_i)_i\end{aligned}$$

Definindo  $r_{ci} = (\vec{r}_{ci})_i$  e  $\omega_i = (\vec{\omega}_i)_i$  as matrizes são dadas por:

$$\Phi_{i+1,i} = \begin{bmatrix} R_{i+1,i} & -R_{i+1,i} \widehat{(\vec{p}_{i,i+1})}_i \\ 0 & R_{i+1,i} \end{bmatrix} \quad M_i = \begin{bmatrix} m_i I & -m_i \hat{r}_{ci} \\ m_i \hat{r}_{ci} & (I_i^i)_i \end{bmatrix}$$

e

$$b_i = \begin{bmatrix} m_i \hat{\omega}_i^2 r_{ci} \\ \hat{\omega}_i (I_i^i)_i \omega_i \end{bmatrix};$$



53/73



Voltar

Fechar

Dependendo se a junta for de revolução o prismática tem-se:

## Junta de Revolução

$$H_{i+1} = \begin{bmatrix} 0 \\ (\vec{h}_{i+1})_{i+1} \end{bmatrix}; \quad R_{i,i+1} = e^{\hat{h}_{i+1}\theta_{i+1}};$$

$$a_{i+1} = \begin{bmatrix} R_{i+1,i} \hat{\omega}_{i-1}^2 (\vec{p}_{i,i+1})_i \\ \widehat{R_{i+1,i}\omega_i} \omega_{i+1} \end{bmatrix}$$

## Junta Prismática

$$H_{i+1} = \begin{bmatrix} (\vec{h}_{i+1})_{i+1} \\ 0 \end{bmatrix}; \quad R_{i,i+1} = I; \quad a_{i+1} = \begin{bmatrix} R_{i+1,i} \hat{\omega}_{i-1}^2 (\vec{p}_{i,i+1})_i \\ 0 \end{bmatrix}$$





# Dinâmica Inversa de ordem $n$

O algoritmo de Newton-Euler Recursivo foi proposto inicialmente por: Luh, Walker e Paul em 1980 ("On-line computational scheme for mechanical manipulators," ASME Journal of Dynamic Systems, Measurement and Control, vol. 102, pp. 6976, 1980).

A dinâmica inversa consiste em: dados  $\theta, \dot{\theta}, \ddot{\theta}, f_{ext} \longrightarrow \tau$ .

Para isto, são necessárias **duas varreduras**:

1. Dados  $V_0$  e  $\alpha_0$ , calcular  $V_i$  e  $\alpha_i$  ( $i = 1, \dots, n$ ) utilizando a equação cinemática. Salvando os valores de  $V_i$  e  $\alpha_i$ .
2. Dado  $f_{ext}$ , calcular  $f_i$  e  $\tau_i$  propagando a equação dinâmica. Salvando  $f_i$  e  $\tau_i$ .



Calcular a dinâmica utilizando o **enfoque Lagrangiano** recai num algoritmo de ordem  $n^4$ .

Utilizando a formulação de **Newton-Euler** o algoritmo é de ordem  $n$  (!!).

Tabela Comparativa:

Método	Multiplicações	Somas	Multiplicações $n = 6$	Somas $n = 6$
Lagrangiano	$16n^4 + 36n^3 + 43n^2 + 18n - 128$	$25n^4 + 22n^3 + 65n^2 + 14n - 96$	66271	51548
NE Recursivo	$150n - 48$	$131n - 48$	852	738
Kane			646	394
NE Rec Simpli.			224	174



56/73



Voltar

Fechar



## Relação com a formulação de Lagrange

Considerando as equações cinemáticas e dinâmicas do algoritmo:

$$\begin{aligned}V_{i+1} &= \Phi_{i+1,i} V_i + H_{i+1} \dot{\theta}_{i+1} \\ \alpha_{i+1} &= \Phi_{i+1,i} \alpha_i + H_{i+1} \ddot{\theta}_{i+1} + a_{i+1}\end{aligned}$$

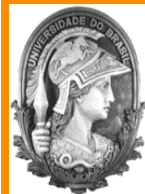
$$\begin{aligned}f_i &= \Phi_{i+1,i}^* f_{i+1} + M_i \alpha_i + b_i \\ \tau_i &= H_i^* f_i\end{aligned}$$

aplicando elas recursivamente tem-se:

$$\begin{aligned}\alpha_1 &= \Phi_{10} \alpha_0 + H_1 \ddot{\theta}_1 + a_1 \\ \alpha_2 &= \Phi_{21} \alpha_1 + H_2 \ddot{\theta}_2 + a_2 \\ &= \underbrace{\Phi_{21} \Phi_{10}}_{\Phi_{20}} \alpha_0 + \Phi_{21} (H_1 \ddot{\theta}_1 + a_1) + H_2 \ddot{\theta}_2 + a_2\end{aligned}$$

Generalizando

$$\alpha_i = \Phi_{i0} \alpha_0 + \sum_{k=1}^i \Phi_{ik} (H_k \ddot{\theta}_k + a_k)$$



57/73



Voltar

Fechar



Por outro lado olhando para a propagação de forças:

$$\begin{aligned}
 f_n &= \Phi_{n+1,n}^* f_{n+1} + M_n \alpha_n + b_n \\
 f_{n-1} &= \Phi_{n,n-1}^* f_n + M_{n-1} \alpha_{n-1} + b_{n-1} \\
 f_{n-1} &= \underbrace{\Phi_{n,n-1}^* \Phi_{n+1,n}^*}_{\Phi_{n+1,n-1}^*} f_{n+1} + \Phi_{n,n-1}^* (M_n \alpha_n + b_n) + M_{n-1} \alpha_{n-1} + b_{n-1}
 \end{aligned}$$

Generalizando:

$$f_i = \Phi_{n+1,i}^* f_{ext} + \sum_{k=n}^i \Phi_{ki}^* (M_k \alpha_k + b_k)$$

Tendo-se então

$$\begin{aligned}
 \alpha_i &= \Phi_{i0} \alpha_0 + \sum_{k=1}^i \Phi_{ik} (H_k \ddot{\theta}_k + a_k) \\
 f_i &= \Phi_{n+1,i}^* f_{ext} + \sum_{k=n}^i \Phi_{ki}^* (M_k \alpha_k + b_k)
 \end{aligned}$$





Definindo

$$\alpha = \begin{bmatrix} \alpha_1 \\ \vdots \\ \alpha_n \end{bmatrix} \quad f = \begin{bmatrix} f_1 \\ \vdots \\ f_n \end{bmatrix} \quad E = \begin{bmatrix} \Phi_{10} \\ 0 \\ \vdots \\ 0 \end{bmatrix} \quad B = \begin{bmatrix} 0 \\ 0 \\ \vdots \\ \Phi_{n+1,n}^* \end{bmatrix} \quad a = \begin{bmatrix} a_1 \\ \vdots \\ a_n \end{bmatrix} \quad b = \begin{bmatrix} b_1 \\ \vdots \\ b_n \end{bmatrix}$$

$$H = \begin{bmatrix} H_1 & \cdots & 0 \\ \vdots & \vdots & \vdots \\ 0 & \cdots & H_n \end{bmatrix} \quad \Phi = \begin{bmatrix} \Phi_{11} & \cdot & 0 \\ \vdots & \vdots & \vdots \\ \Phi_{n1} & \cdot & \Phi_{nn} \end{bmatrix} \quad M = \begin{bmatrix} M_1 & \cdot & 0 \\ \vdots & \vdots & \vdots \\ 0 & \cdot & M_n \end{bmatrix}$$

Pode-se escrever

$$\begin{aligned} \alpha &= \Phi E \alpha_0 + \Phi [H \ddot{\theta} + a] \\ f &= \Phi^* B f_{ext} + \Phi^* [M \alpha + b] \\ \tau &= H^* f \end{aligned}$$



Voltar

Fechar

Então substituindo  $f$  em  $\tau$

$$\tau = H^* \Phi^* B f_{ext} + H^* \Phi^* [M \alpha + b]$$

Substituindo  $\alpha$  na equação acima:

$$\tau = H^* \Phi^* B f_{ext} + H^* \Phi^* [M (\Phi E \alpha_0 + \Phi [H \ddot{\theta} + a]) + b]$$

e conseqüentemente

$$\tau = \underbrace{H^* \Phi^* M \Phi H}_{M(\theta)} \ddot{\theta} + \underbrace{H^* \Phi^* (M \Phi a + b)}_{C(\theta, \dot{\theta}) \dot{\theta}} + \underbrace{H^* \Phi^* M \Phi E \alpha_0}_{G(\theta)} + \underbrace{H^* \Phi^* B}_{J^*(\theta)} f_{ext}$$



60/73



Voltar

Fechar

# Aplicações



61/73

## 1. Linearização por realimentação:

Dados  $f_{ext} = 0$ ,  $\alpha_0$ ,  $\theta$ ,  $\dot{\theta}$ ,  $\ddot{\theta} = v \longrightarrow \tau$ .

Com isto

$$\tau = M v + C \dot{\theta} + G \implies \ddot{\theta} = v$$

2. Cálculo de  $G(\theta)$ :  $f_{ext} = \dot{\theta} = \ddot{\theta} = 0 \longrightarrow \tau = G(\theta)$

3. Cálculo de  $J^T v$ :  $f_{ext} = v$ ,  $\alpha_0 = \dot{\theta} = \ddot{\theta} = 0 \longrightarrow \tau = J^T v$

4. Cálculo de  $J(\theta) q$ :  $\alpha_0 = \ddot{\theta} = 0$ ,  $\dot{\theta} = q$ .

Na 1a varredura  $V_{n+1} = J(\theta) q$

5. Cálculo de  $\dot{J}(\theta)q$ :  $\alpha_0 = \ddot{\theta} = 0$ ,  $\dot{\theta} = q$ .

Na 1a varredura  $\alpha_{n+1} = \dot{J}(\theta) q$



Voltar

Fechar



# Dinâmica direta de ordem $n$

**Problema:** Dado  $\tau, \theta$  e  $\dot{\theta} \longrightarrow \ddot{\theta}$

Por Lagrange poderia ser utilizado:

$$\ddot{\theta} = -M^{-1}(\theta) [C(\theta, \dot{\theta}) \dot{\theta} + G(\theta) - \tau - J^T(\theta) f_{ext}]$$

No entanto calcular  $M^{-1}$  é uma operação de ordem  $n^3$ .

Ela pode ser computada com um esforço de ordem  $n$  utilizando NE.



Voltar

Fechar

# Algoritmo

**Passo 1:** varredura de  $i = 0, \dots, n$ ; calculando

$$V_{i+1} = \Phi_{i+1,i} V_i + H_{i+1} \dot{\theta}_{i+1}, \text{ e armazenando } a_i \text{ e } b_i.$$

**Passo 2:** varredura de  $i = n, \dots, 0$ .

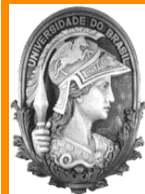
Primeiro considera-se a propagação da força.

Escreve-se  $f_i$  em termos de  $\alpha_i$ :

$$\begin{aligned} f_i &= \Phi_{i+1,i}^* f_{i+1} + M_i \alpha_i + b_i \\ &= \Phi_{i+1,i}^* (\Phi_{i+2,i+1}^* f_{i+2} + M_{i+1} \alpha_{i+1} + b_{i+1}) + M_i \alpha_i + b_i \end{aligned}$$

Agora pode ser considerada a propagação da aceleração  $\alpha_{i+1} = \Phi_{i+1,i} \alpha_i + H_{i+1} \ddot{\theta}_{i+1} + a_{i+1}$ :

$$\begin{aligned} f_i &= \Phi_{i+2,i}^* f_{i+2} + (\Phi_{i+1,i}^* M_{i+1} \Phi_{i+1,i} + M_i) \alpha_i + \Phi_{i+1,i}^* M_{i+1} H_{i+1} \ddot{\theta}_{i+1} \\ &\quad + \Phi_{i+1,i}^* (M_{i+1} a_{i+1} + b_{i+1}) + b_i \end{aligned}$$



63/73



Voltar

Fechar



Em geral pode-se considerar a seguinte relação entre  $f_i$  e  $\alpha_i$ :

$$f_i = P_i \alpha_i + \beta_i$$

onde  $P_i$  é a inercia do corpo articulado e  $\beta_i$  somente depende das velocidades.

Os termos  $P_i$  e  $\beta_i$  pode ser calculados em **forma iterativa** dado que

$$P_i = g_p(P_{i+1}); \quad \beta_i = g_\beta(P_{i+1}, \beta_{i+1})$$

A condição de contorno é dada por:

$$f_n = \underbrace{M_n}_{P_n} \alpha_n + \underbrace{b_n + \Phi_{n+1,n}^* f_{ext}}_{\beta_n}$$

**Passo 3:** varredura de  $i = 0, \dots, n$ ; calculando  $\ddot{\theta}_i$ .

Considerando:

$$\begin{aligned} \tau_{i+1} &= H_{i+1}^* f_{i+1} \\ &= H_{i+1}^* (P_{i+1} \alpha_{i+1} + \beta_{i+1}) \\ &= H_{i+1}^* (P_{i+1} (\Phi_{i+1,i} \alpha_i + H_{i+1} \ddot{\theta}_{i+1} + a_{i+1}) + \beta_{i+1}) \end{aligned}$$





Re-organizando os termo tem-se:

$$\tau_{i+1} = H_{i+1}^* P_{i+1} H_{i+1} \ddot{\theta}_{i+1} + H_{i+1}^* P_{i+1} \Phi_{i+1,i} \alpha_i + H_{i+1}^* (P_{i+1} a_{i+1} + \beta_{i+1})$$

Podendo calcular agora  $\ddot{\theta}_{i+1}$ :

$$\ddot{\theta}_{i+1} = \frac{\tau_{i+1} - H_{i+1}^T P_{i+1} \Phi_{i+1,i} \alpha_i - H_{i+1}^T (P_{i+1} a_i + \beta_{i+1})}{H_{i+1}^T P_{i+1} H_{i+1}}$$

sendo que

$$\alpha_i = \Phi_{i,i-1} \alpha_{i-1} + H_i \ddot{\theta}_i + a_i$$

com condições de contorno  $V_0 = 0$ ;  $\alpha_0 = [\vec{g}, 0]^T$ .





# Modelo Dinâmico no espaço operacional

O modelo dinâmico no espaço das juntas é dado por:

$$M(\theta) \ddot{\theta} + C(\theta, \dot{\theta}) \dot{\theta} + G(\theta) = \tau$$

Podemos obter um modelo no espaço operacional utilizando a relação cinemática:

$$\dot{x} = J(\theta) \dot{\theta} \quad \ddot{x} = J(\theta) \ddot{\theta} + \dot{J} \dot{\theta}$$

Deixando  $\ddot{\theta}$  em função de  $\ddot{x}$ :

$$\ddot{\theta} = J^{-1} [\ddot{x} - \dot{J} \dot{\theta}]$$

multiplicando por  $M(\theta)$  tem-se:

$$M \ddot{\theta} = M J^{-1} [\ddot{x} - \dot{J} \dot{\theta}]$$



pode-se chegar à seguinte relação:

$$\bar{M} \ddot{x} + \bar{C} \dot{x} + \bar{G}(x) = f$$

onde

$$\bar{M} = (JM^{-1}J^T)^{-1}; \quad \bar{C}\dot{x} = \bar{M}JM^{-1}C\dot{\theta} - \bar{M}J\dot{\theta}; \quad \bar{G} = \bar{M}JM^{-1}G$$

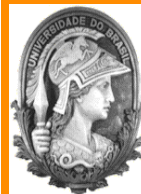
e

$$f = J^{-T}\tau$$

onde  $f$ , expressa em coordenadas mínimas (pose), é a força generalizada (forças/torques) aplicada ao efetuador **equivalente** aos torques aplicados nas juntas.

**Observação 1:** A equivalência é no sentido de que tal força generalizada geraria o mesmo movimento do manipulador que os torques do vetor  $\tau$  aplicados às juntas.

**Observação 2:** Note-se que devemos ter o Jacobiano analítico  $J$ , pois  $x$  são coordenadas de representação no espaço operacional (pose).



O modelo dinâmico no espaço operacional conserva as seguintes propriedades:

- **Simetria:**  $\bar{M} = \bar{M}^T > 0$
- **Passividade:**  $\dot{x}^T(\dot{\bar{M}} - 2\bar{C})\dot{x} = 0$
- **Linearidade em certos parâmetros.**

A equação

$$\bar{M}\ddot{x} + \bar{C}\dot{x} + \bar{G}(x) = f$$

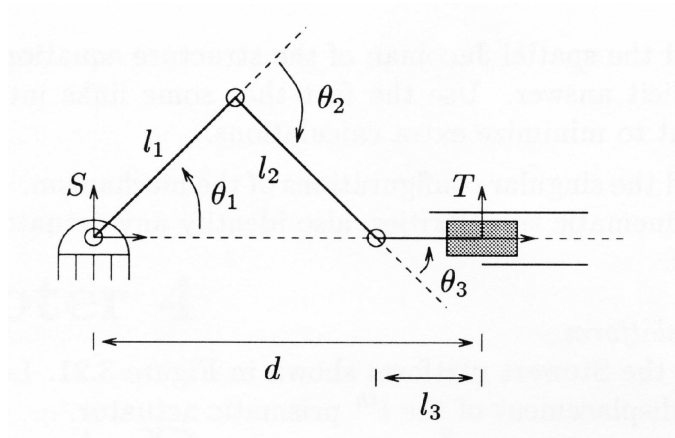
permite calcular a **dinâmica inversa**, i.e. dados  $x(t)$ ,  $\dot{x}(t)$ ,  $\ddot{x}(t)$ , calcular  $f(t)$ , sem maiores dificuldades desde que o **jacobiano  $J$  seja não singular**.





# Cadeia cinemática fechada: Dinâmica

Considere o seguinte sistema:



As restrições cinemáticas são,  $\phi(\theta) = 0$ :

$$\theta_T = \theta_1 + \theta_2 + \theta_3 = 0$$

$$y_T = l_1 \sin(\theta_1) + l_2 \sin(\theta_1 + \theta_2) + l_3 \sin(\theta_1 + \theta_2 + \theta_3) = 0$$



Diferenciado, obtém-se as restrições de velocidade:

$$v_T = \begin{bmatrix} \dot{x}_T \\ \dot{y}_T \\ \dot{\theta}_T \end{bmatrix} = J(\theta) \dot{\theta} = \underbrace{\begin{bmatrix} 1 \\ 0 \\ 0 \end{bmatrix}}_A \underbrace{\dot{x}_T}_{v_c}$$

Desde uma perspectiva de força, considerando a **carga como parte do braço**, tem-se:

$$f_{Tx} = 0 \quad \implies A^T f_T = 0$$

onde  $f_T = [f_{Tx}, f_{Ty}, \tau_T]^T$ .

Considerando a **carga separada**, então  $f_{Tx}$  produz o movimento:

$$m_c \ddot{x}_T = f_{Tx} = A^T f_T$$

onde  $m_c$  é a massa da carga.



## Modelo dinâmico Completo

O modelo dinâmico do manipulador pode ser determinada pela formulação de Lagrange ou Newton-Euler.

O **modelo dinâmico completo** de um mecanismo **com restrições** é dado por:

$$M(\theta) \ddot{\theta} + C(\theta, \dot{\theta}) \dot{\theta} + G(\theta) = \tau - J^T(\theta) f_T$$

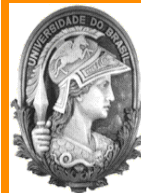
$$A^T f_T = 0$$

$$J(\theta) \dot{\theta} = A v_c$$

$$J(\theta) \ddot{\theta} + \dot{J}(\theta) \dot{\theta} = A \alpha_c + \dot{A} v_c$$

Se a **carga** é considerada em forma **separada**, então  $A^T f_T = 0$  tem que ser substituída por:

$$M_c \alpha_c + B_c v_c + G_c = A^T f_T$$



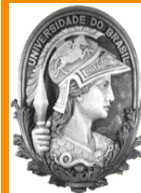
Para **simulação** podemos resolver  $\alpha_c$  e  $f_T$  simultaneamente:

$$\begin{bmatrix} 0 & A^T \\ A & JM^{-1}J^T \end{bmatrix} \begin{bmatrix} \alpha_c \\ f_T \end{bmatrix} = \begin{bmatrix} 0 \\ JM^{-1}(-C\dot{\theta} - G) - \dot{A}v_c + \dot{J}\dot{\theta} + JM^{-1}\tau \end{bmatrix}$$

se  $JM^{-1}J^T$  for inversível.

Então,

1. Por **integração**, podem ser calculados os estados  $x_c$  e  $v_c$ , que podem ser combinados com as restrições para resolver  $\theta$  e  $\dot{\theta}$  utilizando a cinemática inversa.
2. Para um **dado**  $\tau$ , o lado direito da equação diferencial pode ser calculado para **determinar**  $\alpha_c$ .
3. A força da restrição  $f_T$  pode ser calculada com base em  $\theta$ ,  $\dot{\theta}$  e  $\tau$ .





Se a **carga** for considerada em forma **separada**, a equação dinâmica é dada por:

$$\begin{bmatrix} M_c & -A^T \\ A & JM^{-1}J^T \end{bmatrix} \begin{bmatrix} \alpha_c \\ f_T \end{bmatrix} = \begin{bmatrix} -B_c v_c - G_c \\ JM^{-1}(-C\dot{\theta} - G) - \dot{A}v_c + J\dot{\theta} + JM^{-1}\tau \end{bmatrix}$$

De novo, o lado direito somente depende de  $\theta$ ,  $\dot{\theta}$  e  $\tau$ , desta forma, a equação pode ser utilizada para **propagar  $x_c$  e  $v_c$  e calcular  $f_T$** .



73/73



Voltar

Fechar